## • 胸部影像学 •

# 20 例肺动脉栓塞螺旋 CT 增强扫描的影像分析

冯仕庭, 陈境弟, 孟悛非, 邝健谊, 周旭辉, 谭国胜

【摘要】目的:研究肺动脉栓塞螺旋 CT 增强扫描的影像表现,充分认识肺栓塞的 CT 征象,提高肺栓塞的诊断水平。方法:共20例,男14例,女6例。使用东芝 Xpress/SX CT 扫描机作造影增强螺旋 CT 扫描。统计分析肺叶及肺叶以上肺动脉栓塞 CT 增强的综合表现。结果:肺动脉栓塞原发病以下肢深静脉血栓形成最为多见,有7例。下肢深静脉血栓有2例是由桑拿浴引起。将肺栓塞的程度分为轻度栓塞、中度栓塞、重度栓塞和完全栓塞。轻度栓塞为栓塞面占肺动脉管径<30%;中度栓塞为栓塞面 30%~50%;重度栓塞为栓塞面>50%,周围仍见对比剂显影或通过;完全栓塞的栓塞面周边无对比剂显影通过。肺动脉栓塞直接征象是栓塞部位不强化,呈充盈缺损改变。此外,还见9个继发征象:肺动脉总干增宽,右心室和右心房增大。肺叶透亮度增加,肺血管纹理稀疏、细小。肺静脉变小,基底静脉变小,边缘不整,呈干藤样改变。左心房变小。左心室亦变小,室间隔向左后移位。肺组织实变,呈三角形。胸腔积液和心包积液。结论:肺动脉栓塞胸部螺旋 CT 增强扫描的表现是一组综合征象,笔者称为肺栓塞10 联征。充分认识10 联征,能大大提高肺栓塞的诊断水平。肺动脉栓塞有多种原发病,以下肢深静脉血栓形成最多见,桑拿浴可引起下肢深静脉血栓,可能是肺栓塞的一个诱因。

【关键词】 肺动脉; 肺栓塞; 体层摄影术, X 线计算机

【中图分类号】R814.42 【文献标识码】A 【文章编号】1000-0313(2006)06-0563-03

Contrast-enhanced CT of Pulmonary Embolism; Report of 20 Cases FENG Shi-ting, CHEN Jing-di, MENG Quan-fei, et al. Department of Radiology, the First Affiliated Hospital of Sun Yat-sen University, Guangzhou 510080, P. R. China

[Abstract] Objective: To study the characteristics of pulmonary embolism (PE) in contrast-enhanced CT. Methods: There were 20 patients (14 male and 6 female) with lobar and proximal PE were scanned with a Toshiba Xpress/SX CT scanner after contrast material was administrated. The CT manifestations were noted. Results: The direct sign of PE was filling defect or no opacification at the embolizing site of the affected branch of pulmonary artery (PA). And there were 9 secondary signs of PE:PA widening; dilatation of right ventricle and atrium; increased lucency of the affected lobe and rarefaction and thinning of lung markings; small dried-rattan-like pulmonary vein; small left atrium and ventricle; posterior and leftward shift of the interventricular septum; triangular consolidation of affected lung parenchyma; and pleural effusion; and pericardiac effusion. Conclusion: The manifestations of PE on contrast-enhanced CT include a series of 10 signs. With full understanding of these 10 signs correct diagnosis of pulmonary embolism can be made.

**(Key words)** Pulmonary artery: Pulmonary embolism: Tomography, X-ray computed

肺动脉栓塞(pulmonary embolism, PE),又称肺栓塞,是危害人类健康的严重疾患,近年来发病率有明显上升趋势[1,2]。为了能够充分认识肺栓塞螺旋 CT增强扫描的表现,提高肺栓塞的诊断水平,使就诊患者得到及时的诊断和治疗,本文对一组 20 例肺栓塞螺旋 CT增强扫描的影像进行分析,旨在提高肺栓塞的诊断水平。

#### 材料与方法

本组 20 例,男 14 例,女 6 例,年龄  $35\sim72$  岁,平均 56.8 岁。全部病例为本院 1998 年 9 月 $\sim$ 2003 年 1

作者单位:510080 广州,中山大学附属第一医院放射科作者简介:冯仕庭(1977一),男,广东新会人,主治医师,主要从事放射诊断工作。

月的住院患者,治疗好转出院 19 例,死亡 1 例。胸闷胸痛 20 例,咳嗽气促 18 例,下肢肿痛 7 例。本组病例原发病共 18 例,下肢深静脉血栓形成 7 例(双侧 3 例,左侧 3 例,右侧 1 例),高血压 4 例,冠心病(心梗后)1 例,风湿性心脏病(二尖瓣狭窄并关闭不全)1 例,颅咽管瘤手术后 1 例,鼻咽癌放疗后 1 例,慢性支气管炎、肺气肿并肺源性心脏病 1 例,肾功能不全(氮质血症期)1 例,胸腺瘤 1 例;另外 2 例未发现原发病。7 例下肢深静脉血栓有两例是桑拿浴后引起的,此 2 例桑拿沐浴后下肢肿痛,胸痛,气促和咳嗽,作下肢和胸部螺旋 CT 增强扫描发现下肢深静脉血栓和肺动脉栓塞。

使用机器为东芝 Xpress/SX CT 扫描机, Medradvistron CT 型高压注射器。对比剂为优维显,剂量1.5 ml/kg,注射流率为3 ml/s。扫描方法:患者仰卧

位,注射对比剂后 60 s 开始常规扫描,从肺尖到肺底,层厚 10 mm,层距 10 mm, $120 \sim 125 \text{ kV}$ , $200 \sim 250 \text{ ms}$ 。 9 例患者做肺门区薄层高分辨力 CT 扫描,层厚  $2 \sim 3 \text{ mm}$ ,层距  $2 \sim 3 \text{ mm}$ 。图像纵隔窗:窗位 40 HU,窗宽 300 HU。肺窗:窗位-450 HU,窗宽 1450 HU。

#### 结 果

肺栓塞的部位和程度:肺动脉栓塞螺旋 CT 增强扫描时,栓塞部位无强化,呈充盈缺损改变。本组双侧肺动脉栓塞 9 例,单侧 11 例,左侧 5 例,右侧 6 例。肺动脉栓塞分完全栓塞和不完全栓塞<sup>[3,4]</sup>。笔者将不完全栓塞分为轻度栓塞、中度栓塞和重度栓塞。轻度栓塞为栓塞面积占肺动脉管径<30%;中度栓塞为栓塞面积30%~50%;重度栓塞为栓塞面积>50%,周围仍见对比剂显影或通过(图 1);完全栓塞的栓塞面周边无对比剂显影或通过(图 1);完全栓塞的栓塞面周边无对比剂显影通过。本组的 20 例,我们只统计分析肺叶及肺叶以上的肺动脉栓塞。栓塞部位及栓塞的程度是:右肺动脉主干栓塞 6 例,轻度 1 例,中度 1 例,重度 4 例;左肺动脉弓栓塞 4 例,轻度 3 例,重度 4 例,完全栓塞 1 例;右中肺动脉栓塞 4 例,轻度 2 例,中度 1 例,完全栓塞 1 例;右下肺动脉栓塞 15 例,轻度 3 例,

中度3例,重度8例,完全栓塞1例;左上肺动脉栓塞3例,中度2例,重度1例;左下肺动脉栓塞14例,轻度3例,中度5例,重度4例,完全栓塞2例。

肺栓塞的胸部继发征象, 本组肺动脉栓塞, 除见到 栓塞部位肺动脉不强化外,胸部还见9个继发的征象, 这些继发征象有,肺动脉总干增宽(图 2)(代表肺动脉 高压)7例,均有双侧肺动脉栓塞,完全栓塞1例,重度 栓塞 6 例:2 例右心室、右心房同时显著增大(图 3a), 双侧肺动脉中度和重度栓塞: 左心房细小 6 例, 左心房 前后径小于同层面升主动脉根部的前后径(图 3b),6 例均为双侧性肺动脉栓塞,完全栓塞1例,重度栓塞4 例,中度栓塞1例:左心室显著缩小2例,室间隔明显 向左后移位,为双侧肺动脉中重度栓塞:基底静脉变 小, 边缘不整齐, 呈干藤样改变(图4)5例, 重度栓塞4 例,中度1例;肺野外带肺组织实变(图4、5)7例,完全 栓塞 2 例, 重度栓塞 4 例, 中度 1 例; 受栓塞影响的肺 野透亮度增加,肺纹理显著稀疏、细小7例,完全栓塞 1例,重度栓塞3例,中度栓塞3例;胸腔积液8例,少 量积液 6 例,中度积液 2 例,其中肺动脉完全栓塞 1 例,重度栓塞5例,中度2例;心包少量积液3例,重度 栓塞2例,中度1例。本组有2例同时出现直接征象 和 9 个继发征象。

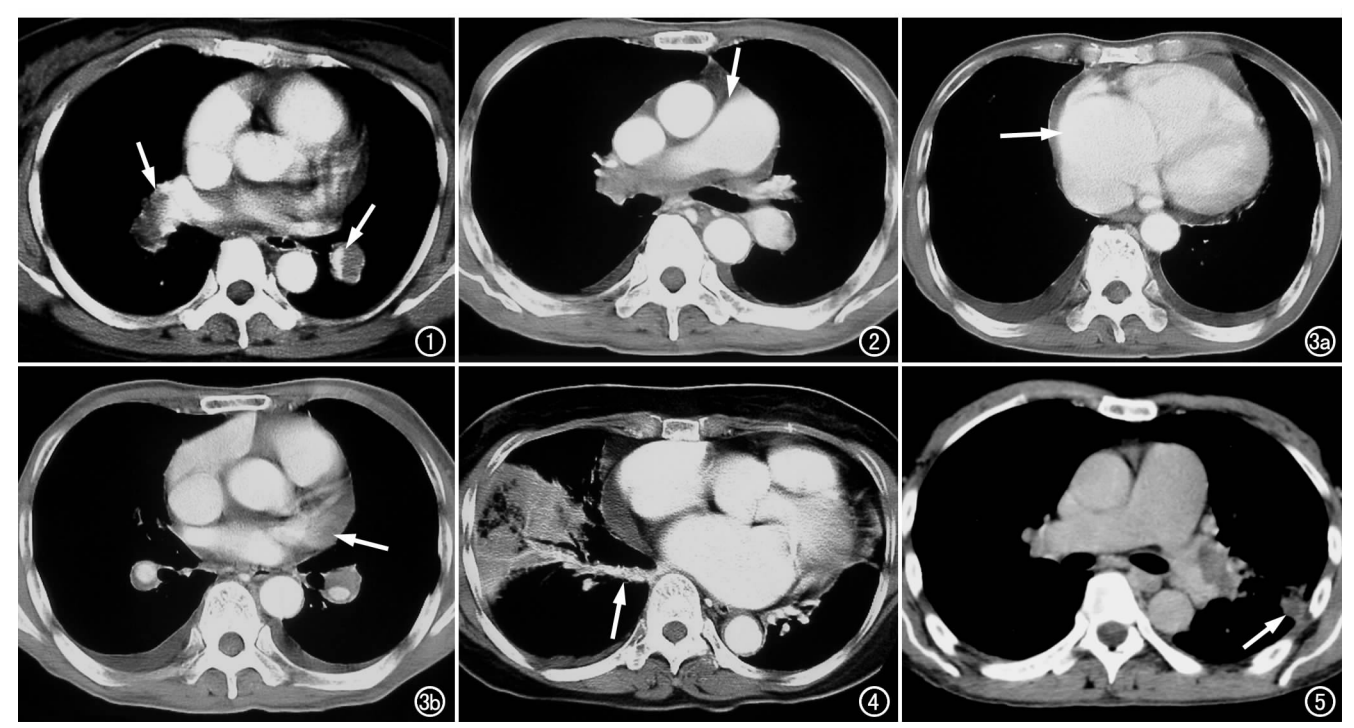


图 1 双侧肺动脉重度栓塞,栓塞面>50%,周围仍见对比剂显影或通过(箭)。 图 2 双侧肺动脉栓塞,肺动脉高压,肺动脉主干增宽(箭)。 图 3 双肺动脉栓塞。a) CT 示右心室和右心房增大(箭),左室小,室间隔向左后移位,心包少量积液,双侧胸腔少量积液;b) CT 示左心房变小(箭)。 图 4 风湿性心脏病,右肺动脉栓塞,右肺梗死,右基底静脉变细,边缘不光滑,呈干藤样改变(箭)。 图 5 左肺动脉中度栓塞,肺动脉高压,左肺外带肺组织实变,呈三角形改变(箭)。

#### 讨 论

### 1. 肺栓塞的十联征

肺动脉栓塞是指内源性或外源性栓子栓塞肺动脉,引起肺循环障碍的综合征,其胸部 CT 扫描所见也是一组综合征象,主要的和直接的征象是肺动脉内栓子不强化。除直接征象外,还见一组继发征象。本组继发征象有:肺动脉总干增宽(代表肺动脉高压),右心室右心房显著增大,肺野透亮度增高、肺纹理稀疏、细小,局部肺组织实变,基底肺静脉变细、边缘不光滑、呈干藤样改变,左心房细小,左心室细小并室间隔向左后移位,胸腔积液和心包积液。9个继发征象,加上栓塞部位肺动脉的直接征象,总共10个征象,笔者称肺动脉栓塞胸部螺旋 CT 增强扫描十联征。充分认识十联征,能大大提高肺栓塞的诊断水平,这是肺栓塞早期诊断和治疗的关键。

肺动脉总干管径大于同层面升主动脉时称肺动脉 总干增宽。栓子堵塞肺动脉后,受机械、神经反射和体 液因素的影响,肺血管阻力和肺动脉压增高,其中主要 是机械因素<sup>[2]</sup>。本组所见7例,全是重度以上肺栓塞 患者。肺动脉栓塞程度越严重,肺动脉高压越明显。 肺动脉高压导致右心室阻力负荷增加、右心室扩张,再 导致三尖瓣返流<sup>[2]</sup>,引起右心房增大。

肺动脉栓塞使心输出量下降,肺血流量减少,受影响的肺叶透亮度增加,肺血管纹理稀疏、细小。由于心输出量减少,肺静脉变小。下肺动脉栓塞时,基底静脉变细、边缘不光滑,呈干藤样改变,笔者称基底静脉干藤征,此征是肺动脉栓塞的一个重要征象,本组见5例,占25%,为中、重度栓塞患者。肺静脉回流减少使左心充盈下降,左心房变小,左心室变小。左心房细小时,左心房前后径小于同层面主动脉根部的前后径,本组见6例,占30%。左心室变小时,右心室压力大,左心室压力小,使室间隔向左后移位[<sup>9]</sup>。

肺动脉栓塞后,肺内常常见到实变的肺组织。本组见7例,占35%。肺组织实变,可能是受影响的肺组织肺泡表面活性物质减少导致肺萎陷或肺不张,或者是血管的通透性增加引起出血性肺不张,也可能是支气管动脉血流和肺静脉回流受影响出现肺梗死<sup>[6,8]</sup>。实变的肺组织大小不一、单发或多发,常在肺野的外围区,多呈三角形改变,底部在胸壁,顶部向肺门。实变的肺组织密度不均,增强扫描强化可不明显,病灶短期内变化大,可坏死形成不规则空洞。

胸腔积液的发生率较高,本组有8例,占40%,为 少量至中量积液。积液的原因可能是胸膜受累。栓塞 部位临近胸膜时可引起胸腔积液<sup>[8]</sup>。心包积液见3例,均为少量积液。心包积液的原因未明,可能是心功能不全,心包渗出所致。

#### 2. 肺栓塞的原发病

根据文献报道,肺动脉栓塞的原发病有多种,其中 以深静脉血栓形成的发生率最高[7]。本组的原发病以 下肢深静脉 血栓形成最多见,有7例,占35%。一般 认为,下肢深静脉瓣附近血流紊乱,容易形成血栓,并 向近端生长,甚至进入下腔静脉[8],发生肺动脉栓塞。 值得注意的是,此7例下肢深静血栓形成,竟有2例由 桑拿浴引起。桑拿浴为什么会引起下肢深静脉血栓, 原因有待研究。笔者认为,桑拿浴后体内液体大量丧 失可能是主要原因。体内液体大量丧失后,血液浓缩, 血流淤滞,全身血液处于高凝状态,血栓自然容易形 成: 也可能是继发血管局部缺氧, 致使血管内皮受损, 内皮细胞脱落, 血管内皮功能失调, 形成血栓[9]。桑拿 浴会引起肺栓塞,应引起广泛注意和重视。本组肺栓 塞唯一1例死亡病例(女,48岁),就是桑拿浴后下肢 肿痛 3 周伴胸痛、气促,作下肢螺旋 CT 增强扫描发现 双下肢深静脉血栓,接着作胸部 CT 扫描发现双肺动 脉重度栓塞。因患者就诊太迟,病情严重,检查后第2 天就因心肺功能衰竭死亡。桑拿浴可能是肺栓塞的一 个诱因。

#### 参考文献:

- [1] 中华医学会呼吸病学分会肺栓塞学组.第一届全国肺栓塞学术会议纪要[J].中华结核和呼吸杂志,2001,24(12):712-714.
- [2] 赵力,郎志瑾,伍建林,等. 多层螺旋 CT 在肺动脉栓塞诊断中的应用价值[J]. 中华放射学杂志,2003,37(4):307-310.
- [3] Qanadli SD, Hajjam ME, Mesurolle B, et al. Pulmonary Embolism Detection: Prospective Evaluation of Dual-section Helical CT Versus Selective Pulmonary Arteriography in 157 Patients[J]. Radiology, 2000, 217(2): 447-455.
- [4] Remy-Jarein M, Remy J. Spiral CT Angiography of the Pulmonary Circulation [J]. Radiology, 1999, 212(3): 615-636.
- [5] 李建蓉. 综合超声技术在肺血栓栓塞症中的应用[J]. 中华结核和呼吸杂志,2001,24(12):708-709.
- [6] 伍燕兵,王辰,庞宝森,等. 犬多发性肺动脉微小血栓塞的病理及呼吸循环功能改变[J]. 中华结核和呼吸杂志,2002,25(4):217-
- [7] 蔡柏蔷,徐凌,郭淑静.北京协和医院肺栓塞基础病因的变迁[J]. 中华结核和呼吸杂志,2001,24(12);715-717.
- [8] 王辰,伍燕兵. 肺血栓塞症的病理生理[J]. 中华结核和呼吸杂志, 2001,24(12)707-708.
- [9] 高莹,阮英茆,张林峰. 深静脉血栓患者血液中循环内皮细胞的变化[J]. 心肺血管杂志,2003,22(2);91-92.

(收稿日期:2005-06-23 修回日期:2005-08-21)